

東北大工学部 学 ○菊地 春海
 東北大工学部 正 佐藤 孝志
 東北大工学部 正 鈴木 基行

1.はじめに

東北新幹線等で多用されているRCラーメン構造物の合理的で簡便な耐震設計法の確立のためには、文番繰返し荷重を受ける梁や柱部材の弾性域から塑性域に至るまでの荷重-変位特性、吸収エネルギー等を正確に把握しておかなければならぬ。そこで本研究では特にRCラーメン高架橋の中層梁を急頭に置き、繰返し載荷されたRC梁の実験結果をもとに荷重-変位曲線のスケルトンカーブやヒステリシスループをモデル化し、これら構造物の振動解析の際の有意義な入力データを得ることを目的とする。表-1 供試体諸元

2. 実験供試体

使用した実験供試体を右に示す。(表-1) 变位の測定は載荷点とする。繰返し載荷は、降伏変位を基準とし、降伏変位の整数倍ごとに各3サイクルを行なった。なお $\sigma_{ck} = 270 \text{ (kg/cm}^2)$ である。

3. 考察

a) 曲げひび割れ発生荷重、降伏荷重、最大荷重の理論計算値と実験結果との比較を行なった。計算における材料特性としてコンクリートの応力-歪曲線は ACI 基準、鉄筋は歪硬化を考えたものと仮定する。(図-2) 計算値は断面を細分化し、ある荷重状態について歪の条件と力のフリーハンドを満たすように繰返し計算から求めた。曲げひび割れ発生荷重はコンクリート引張端部応力が $70f'_c/(280 + f'_c)$ ($f'_c (\text{kg}/\text{cm}^2)$: 圧縮強度) に達する時とした。その結果(実験値)/(計算値)は平均 1.275、変動係数 3.1% となつた。部材降伏荷重は、引張鉄筋が降伏する時とした。(実験値)/(計算値) は、平均 1.035、変動係数 6% となつた。すべての実験中で引張主鉄筋の降伏以前にせん断降伏したものではなく、この実験の範囲内では、引張主鉄筋の降伏が部材の降伏ともたらすと考えてよい。最大荷重は圧縮缘コンクリートが 4000μ の時の荷重と仮定した。(実験値)/(計算値) は平均 1.023、変動係数 7% となつた。降伏荷重、最大荷重は、実験値が計算値より数% 大きくなる傾向があるようだが、理論計算とほぼ一致していることがわかる。

b) 断面のモーメント曲率関係より求めた部材降伏時の計算たわみと実験結果の比較を行なつた。(図-3) スターラップの降伏が引張主鉄筋降伏以前に起こつても、その時点では、P-δ 図の傾きに変化はほとんどみられない。すなはち鉄筋比が降伏たわみに及ぼす影響もほとんどみられない。計算値は、実験値よりかなり小さく、(実験値)/(計算値) の値に及ぼす要因としてせん断スパン比(a/d) の影響が大きいことがわかる。た。 a/d が小さくなるほど計算値との差は大きくなることがある。(図-4)

供試体	引張主鉄筋比 $P_s = P_c (\%)$	スターラップ比 $P_u (\%)$	a/d	本数 (内一筋)
A-1	1.07	0.120	1.6	2
	-2 (6-D22)		2.7	2
	-3		3.5	2
B-1	0.89 (5-D22)	0.120	2.7	8
C-1	0.85	0.125 0.249 0.497	7(2)	2(1)
	-2		2.5	2(1)
	-3 (4-D16)		2(1)	
D-1	1.81	0.249 0.497	2.5	3(1)
	-2 (4-D22)		4(1)	
	-3			
E-1	0.828	0.126 0.168 0.336	1	1
	-2 (5-D16)		2(1)	2(1)
	-3		1	
F-1	0.828	0.117	3.5	1
F-2	(5-D16)	0.234	2(1)	

図-1 供試体図

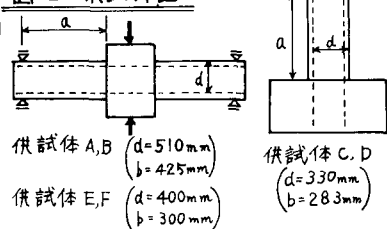


図-2 鉄筋 (SD35)

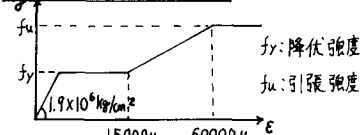
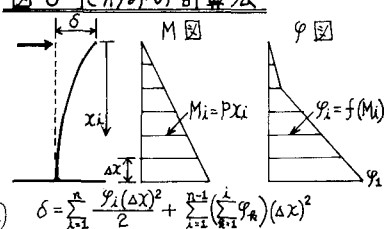


図-3 たわみの計算法



これは変位に及ぼすせん断变形の影響が大きくなることと関係していると思われる。直線近似をすると(実験値)/(計算値)={5.45-1.14(a/d)}となり、相関係数は、0.88となる。

c) 鞣性率 破壊鞠性率は、自立した耐力低下が起きた時の変位の降伏変位に対する倍率で表わすことにする。繰返し載荷は一方向載荷よりかなり破壊鞠性率が低下する。本研究で用いたa/d=1.6~3.5 Pt=0.85~1.81(%)程度の変動要因に対しては、一方向載荷でも繰返し載荷でも腹鉄筋比が破壊鞠性率に及ぼす影響が大きいことがわかった。供試体C-1における $P_w/P_t=0.125/0.85=0.147$ を基準値としてグラフをえがくと図-5のようになる。この実験範囲内では、破壊鞠性率は $2 \times \{(P_w/P_t)/0.147\}$ 以上にあるといえる。

d) ヒステリシスループ 繰返し載荷の場合、すべての実験で逆S字型へ移行した。腹鉄筋比により逆S字型へ移行する時の鞠性率に変化があるが普通 $2 \times \delta_y$ ほどで移行している。図-6に腹鉄筋比が一番大きいC-3における K_u/K_0 を示す。 K_0 は降伏時剛性である。戻り剛性 $K_u/K_0/\sqrt{\mu}$ で表現できる。(μ:鞠性率) また等価粘性減衰定数は鞠性率の増加に関係なく0.1前後であることがわかった。これは各ループにおいて逆S字型のスリップを起こしているのが原因であり、吸収エネルギーは鞠性率に関係なくほぼ一定値をとる。

4.まとめ 以上よりa/d=1.6~3.5, Pt=0.85~1.81(%), $P_w=0.117 \sim 0.457$ (%)の範囲の交番荷重をうける梁においては次の様にモデル化すればよいと思われる。①曲げひび割れ発生荷重、降伏荷重、最大荷重、及び曲げひび割れ発生時のたわみは理論計算値とする。②降伏時たわみ δ_y は計算値のα倍(これを修正降伏時たわみ)とする。αの値は図-4で求めた、 $\alpha=5.45-1.14(a/d)$ とする。③最大荷重時のたわみは鞠性率より求め、 $\mu=2 \times \delta_y/(P_w/P_t)/0.147$ とする。④最大荷重後は剛性が低下していくものとする。⑤ヒステリシスループは戻り剛性 $K_u/K_0/\sqrt{\mu}$ (μ:鞠性率)とし、 $2 \times \delta_y$ 以後は復元力の符号の変わった点からは降伏荷重×1/8(これは等価粘性減衰定数を考慮して仮定した値である)を自走し、その後は、前ループの最大点を指向する。この仮定より求めたスケルトンカーブ、ヒステリシスループと実験から求めた供試体E-2, C-3のカーブを示す。その適合性は比較的いいと思われる。

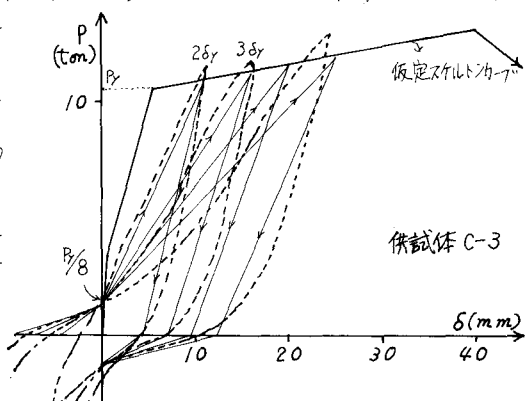


図-4 降伏時たわみ(実験値/計算値)とa/d

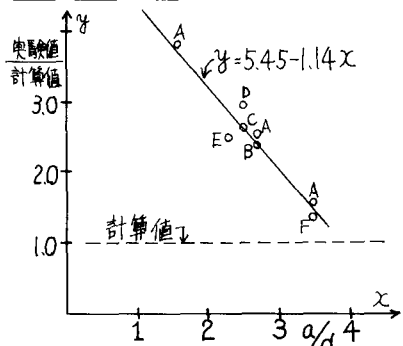


図-5

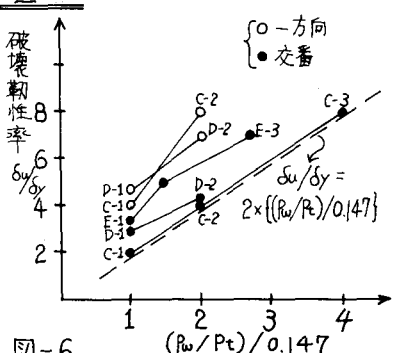


図-6

